



بیست و هفتمین کنفرانس اپتیک و  
فوتوونیک ایران و سیزدهمین کنفرانس  
مهندسی و فناوری فوتونیک ایران،  
دانشگاه سیستان و بلوچستان،  
 Zahedan, Iran.  
 ۱۴-۱۶ بهمن ۱۳۹۹



کد مقاله : A-۱۰-۲۵۴۷-۱

## بررسی خواص خطی و غیرخطی اپتیکی پوست بیماران اسکلرودرمی

سعیده بنادکوکی<sup>۱</sup>, سلمان مهاجر مازندرانی<sup>۱,۲</sup>, حمیدرضا محمودی<sup>۳</sup>

آزمایشگاه بیوفوتونیک، دانشکده فیزیک، دانشگاه خوارزمی، کرج، پژوهشکده علوم کاربردی، دانشگاه خوارزمی،  
کرج، آگروه پوست، دانشکده علوم پزشکی تهران، تهران

[Saeedehbanad1375@gmail.com](mailto:Saeedehbanad1375@gmail.com), [mohajer@khu.ac.ir](mailto:mohajer@khu.ac.ir), [hrmdmg.mahmoudi@gmail.com](mailto:hrmdmg.mahmoudi@gmail.com)

چکیده -اسکلرودرمی یک بیماری بافت پیوندی مزمن با فیبروز پوست و اندام داخلی همراه است. این گروه از بیماری‌ها شامل اسکلروز سیستمیک و اسکلرودرمی موضعی است. در این مقاله تعداد ۹ نمونه پوست اسکلرودرمی در ضخامت‌های مختلف توسط دستگاه میکروتوم برش زده و روی لام تثبیت شد. سپس خواص اپتیکی نمونه‌ها در چیدمان‌های اندازه‌گیری جذب خطی و چیدمان روش محوری دریچه بسته اندازه‌گیری شد. نتایج بدست آمده نشان می‌دهد که چگالی نوری (OD) نمونه‌ها در محدوده ۰.۹۶ تا ۱.۳۵ تغییر می‌کند و ضریب جذب خطی نیز با افزایش سن، کاهش می‌یابد. همچنین ضریب شکست غیرخطی نمونه‌ها از مرتبه  $(\frac{cm^2}{W})^{10}$  بدست آمد.

کلید واژه - اسکلرودرمی، روش محوری، جذب خطی، چگالی اپتیکی

## Study of Linear and Nonlinear Optical Properties of Skin Scleroderma Patients

Saeedeh Banadkouki<sup>1</sup>, Salman Mohajer Mazandarani<sup>1,2</sup>, H.Reza Mahmoudi<sup>3</sup>

<sup>1</sup>Biophotonics laboratory, Physics department, Kharazmi University, Karaj, <sup>2</sup>Applied Science Research Center, Kharazmi University, Karaj, <sup>3</sup>Department of Dermatology, Tehran University of Medical Sciences, Tehran, Iran

**Abstract-** Scleroderma is a chronic connective tissue disease accompanied with skin and inner organ fibrosis. This group of disease includes systemic sclerosis and localized scleroderma. In this article, 9 samples skin scleroderma in different thicknesses were cut by Rotary microtome device and fixed on the slides. Then, the optical properties of the samples were measured in linear absorption measurements and closed-aperture Z-Scan arrangements. The results show that the optical density (OD) of the samples varies in the range of 0.96 to 1.35 and the linear absorption decreases with age. As well as, the nonlinear refractive index of the samples was obtained from the order of  $10^{-6}(\frac{cm^2}{W})$ .

Keywords: Linear absorption, Optical density, Scleroderma, Z-Scan

غیرخطی، از روش روبش محوری<sup>۵</sup> استفاده کرده که نمونه در جهت محور اپتیکی از منطقه‌ی کانونی می‌گذرد. قطر پرتو با فاصله از کانون تغییر می‌کند که منجر به تغییر شدت خروجی بر حسب فاصله می‌شود. شدت نور بالا در منطقه‌ی کانونی باعث القا پاسخ‌های نوری غیرخطی مانند جذب دوفوتونی یا شکست غیرخطی خواهد شد. در یک نمونه غیرخطی ضریب شکست واپسیه به شدت است پس هر نقطه از نمونه تغییر فازی متناسب با شدت دریافتی از جبهه موج گالوی را نشان می‌دهد. در چیدمان روبش محوری دریچه بسته، وجود روزنه باعث می‌شود تنها پرتوهای بخش محوری عبور کند و با حرکت دادن نمونه در راستای محور روبش، شدت ورودی به آشکارساز تغییر کرده و ثبت می‌شود و می‌توان تغییر فاز و ضریب شکست را محاسبه کرد. ضریب شکست غیرخطی در این روش با استفاده از معادله زیر بدست می‌آید:

$$n_2 = \frac{\lambda \Delta T_{p-v}}{2\pi I_0 L_{eff} (0.406)(1-s)^{0.25}} \quad (2)$$

که  $I_0$  بیشینه شدت در کانون عدسی است که بالاستفاده از رابطه  $I_0 = \frac{2P_0}{\pi W_0^2}$  بدست می‌آید و  $\alpha$  ضریب عبور روزنه است، که در این آزمایش برابر  $981 \pm 0.0$  است. ضریب جذب خطی،  $L_{eff}$  ضخامت نمونه و  $P_0$  ضخامت موثر نمونه است که رابطه آن به صورت زیر می‌باشد<sup>[۵]</sup>:

$$L_{eff} = \frac{1 - e^{-\alpha L}}{\alpha} \quad (3)$$

## مواد و روش‌ها

تعداد ۹ نمونه از بیماران مبتلا به اسکلرودرمی پوست که بصورت بلوك‌های جداگانه در بانک بیمارستان تخصصی

<sup>5</sup>Z-Scan Technique

## مقدمه

اسکلرودرمی<sup>۱</sup> به عنوان یک بیماری روماتیسمی و یا یک بیماری بافت همبند شناخته می‌شود<sup>[۱]</sup>. علائم بالینی معمولاً، بصورت سفت شدن پوست است که اغلب با ضخیم شدن پوست و چسبندگی زیاد به لایه زیرین پوست همراه است<sup>[۲]</sup>. این گروه از بیماری‌ها شامل اسکلروز سیستمیک<sup>۲</sup> و اسکلرودرمی موضعی<sup>۳</sup> است؛ اسکلرودرمی موضعی محدود به پوست و بافت‌های زیرین باقی می‌ماندو در مشاهدات بالینی متداول‌تر هستند<sup>[۱]</sup>؛ در حالی که در اسکلروز سیستمیک قسمت‌های مختلف بدن از جمله پوست، عروق خونی، سیستم گوارشی، قلب، ریه، کلیه‌ها، ماهیچه‌ها و مفصل‌ها تأثیر می‌گذارد<sup>[۳]</sup>. پوست می‌تواند براق به نظر برسد، چون خیلی سفت است و حرکت ناحیه آسیب دیده ممکن است محدود باشد. شدت درگیری پوست و اندام‌های داخلی ممکن است با سیر بالینی بیماری مرتبط باشد<sup>[۴]</sup>.

## نتوری

رابطه جذب خطی با استفاده از قانون بیر-لامبرت<sup>۴</sup>، رابطه بین شدت نور ورودی و جذب شده در ماده است، به صورت زیر بیان می‌کند:

$$\log \frac{I_0}{I} = \alpha L \quad (1)$$

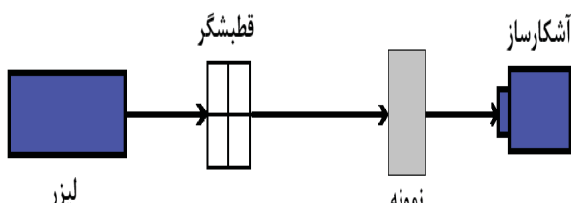
در این رابطه مقدار  $\frac{I_0}{I}$  را از شب نمودار حاصل از چیدمان جذب خطی برای هر یک از نمونه‌ها را محاسبه کرده و سپس با استفاده رابطه (۱) مقدار ضریب جذب  $\alpha$  را برای نمونه‌های اسکلرودرمی محاسبه می‌کنیم. در حالت

<sup>1</sup>Scleroderma

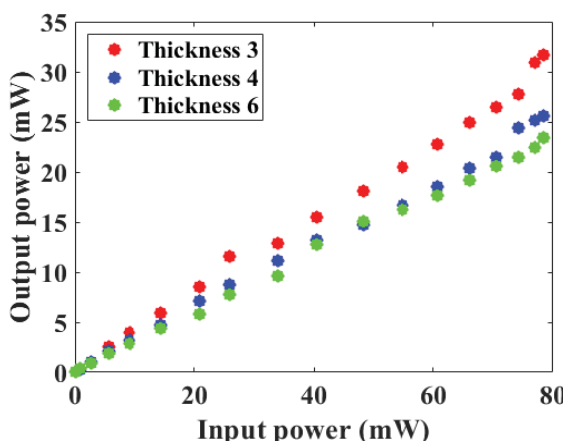
<sup>2</sup>Systemic Sclerosis

<sup>3</sup>Localized Scleroderma

<sup>4</sup>Beer-Lambert law



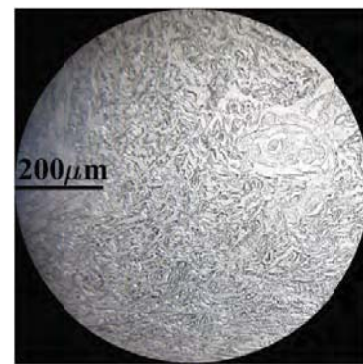
شکل ۲: چیدمان اپتیکی اندازه‌گیری ضریب جذب خطی



شکل ۳: (a) نمودار خطی توان خروجی بر حسب توان ورودی برای نمونه پوست اسکلرودرمی با ضخامت‌های مختلف.

برای اندازه‌گیری ضریب شکست غیرخطی در ضخامت‌های مختلف پوست اسکلرودرمی، از چیدمان روش محوری در شکل (۴) با منبع نور لیزر Nd:YAG با طول موج ۵۳۲ نانومتر و با پایداری شدت بعد از ۲ دقیقه و ۱۵ ثانیه، عدسی ۵ میلی‌متری با کانونی ۸ سانتی‌متر و روزنہ با قطر دهانه ۵ میلی‌متر استفاده شده است. نور در راستای محور ریل به نمونه تابیده می‌شود. نمودار شدت عبوری بر حسب مکان نمونه در شکل (۵) نشان داده شده است. از روی منحنی برآذش شده بر این نمودارها مقدار اختلاف قله-دره ( $\Delta T_{p-V}$ ) بدست آمده و مقدار عددی ضریب شکست غیرخطی ( $n_2$ ) بعد از ۵ بار تکرار آزمایش‌ها در قسمت‌های مختلف نمونه و بطور میانگین‌گیری شده برای ضخامت‌های متفاوت محاسبه شده است و در جدول (۱) گزارش شده است.

پوست رازی فریز شده بود، تهیه شد. سپس آن‌ها را دی‌فریز کرده و به پارافین آغشته و سپس سرد نموده، در ادامه بلوکرا توسط میکروروم به ضخامت‌های ۳، ۴ و ۶ میکرومتر برش می‌دهیم. سپس نمونه برش داده شده را با استفاده از لام در داخل آب و اتانول قرار داده تا چروک‌ها باز شوند. سپس در داخل حمام آب گرم قرار می‌دهیم تا چروک‌های باقی مانده نیز باز شود و پوست صافی بر روی لام داشته باشیم. در نهایت در داخل دستگاه سردکن قرار داده تا بر روی لام فیکس شود.



شکل ۱: تصویر نمونه آماده شده از پوست اسکلرودرمی

برای اندازه‌گیری جذب خطی از چیدمان شکل (۲) استفاده شده است. در این چیدمان برای کم کردن اثر پراکندگی به حداقل مقدار آشکارساز در کمترین فاصله ممکن تا نمونه قرار داده شد. برای اعمال ورود توان های مختلف به نمونه از قطبشگر استفاده شده است. توان دریافتی بدون حضور نمونه و در حضور نمونه اندازه‌گیری شد و در شکل (۳) نمودار آن در نرم افزار متلب به ترتیب برای ضخامت‌های ۳، ۴ و ۶ میکرومتر رسم شد. شیب خط را با استفاده از برآذش منحنی بدست آورده و با استفاده از رابطه (۱) ضریب جذب خطی محاسبه گشت. میزان جذب شیشه‌ای که نمونه روی آن ثبیت شده بود نیز محاسبه و از مقدار جذب کل کاسته شد.

۳	۶		$0.05 \pm 1.45$	$0.16 \pm 18.85$
۴	۳	زن-۴۶	$-0.05 \pm 2.81$	$0.33 \pm 40.57$
۵	۴		$0.05 \pm 4.46$	$0.25 \pm 30.21$
۶	۶		$0.05 \pm 2.37$	$0.16 \pm 20.94$
۷	۳		$-0.05 \pm 4.51$	$0.33 \pm 41.37$
۸	۴	مرد-۱۲	$0.05 \pm 1.73$	$0.25 \pm 31.26$
۹	۶		$-0.05 \pm 2.71$	$0.16 \pm 24.18$

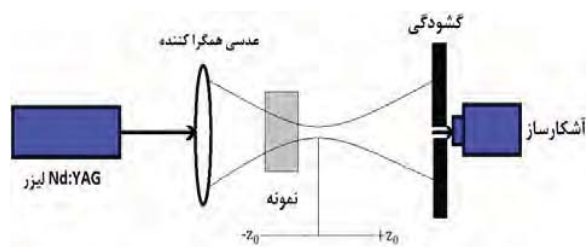
جدول ۱: نتایج ضریب شکست و جذب خطی نمونه‌های پوست اسکلرودرمی بر حسب ضخامت، سن و جنسیت.

### سپاسگزاری

از بیمارستان تخصصی پوست رازی بابت همکاری تشکر و قدردانی می‌شود.

### مرجع‌ها

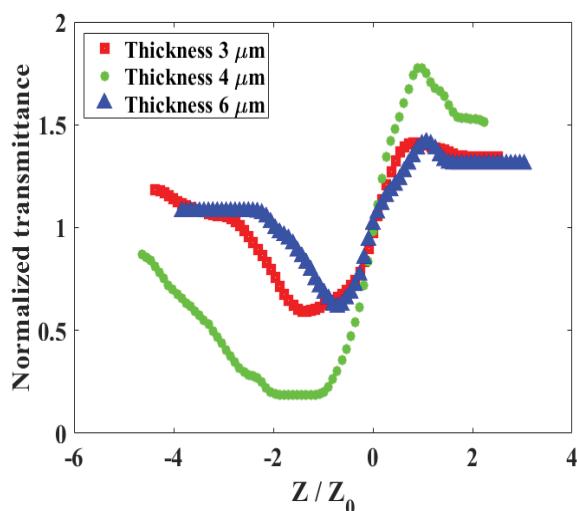
- [1] C. P. Denton and D. Khanna, "Systemic sclerosis," *Lancet*, vol. 390, no. 10103, pp. 1685–1699, 2017, doi: 10.1016/S0140-6736(17)30933-9.
- [2] T. Krieg, "Pathophysiological Mechanisms in Sclerosing Skin Diseases," vol. 4, no. August, 2017, doi: 10.3389/fmed.2017.00120.
- [3] M. Fabri and N. Hunzelmann, "Differential diagnosis of scleroderma and pseudoscleroderma," *JDDG - J. Ger. Soc. Dermatology*, vol. 5, no. 11, pp. 977–983, 2007, doi: 10.1111/j.1610-0387.2007.06311.x.
- [4] A. C. Gelber and F. M. Wigley, "Treatment of scleroderma," *Curr. Opin. Rheumatol.*, vol. 7, no. 6, pp. 551–559, 1995, doi: 10.1097/00002281-199511000-00015.
- [5] H. C. Lin and A. Y. G. Fuh, "Z-scan measurements of optical nonlinearities of dye-doped liquid crystals," *J. Nonlinear Opt. Phys. Mater.*, vol. 18, no. 3, pp. 367–400, 2009, doi: 10.1142/S0218863509004671.



شکل ۴: چیدمان اپتیکی روش محوری دریچه بسته

### نتیجه‌گیری

در این پژوهش نشان داده شده است که نمونه‌های پوست اسکلرودرمی دارای خاصیت غیرخطی می‌باشند و ضریب شکست غیرخطی نیز برای هر نمونه متفاوت بود و از مرتبه  $(\frac{cm^3}{W})^{1/2}$  بسته آمد. همچنین مقدار جذب خطی نمونه‌ها با افزایش سن، کاهش می‌یابد. لازم به ذکر است که این پژوهش با توجه به کثرت و تفاوت بافت پوست برای هر فرد نیاز به بررسی تعداد نمونه‌های بیشتری دارد تا یک الگوی دقیق برای آن ارائه شود.



شکل ۵: نمودار شدت عبوری نشان‌دهنده رفتار غیرخطی پوست اسکلرودرمی با توجه به ضخامت‌های مختلف.

ضخامت نمونه ( $\mu m$ )	جنسيت و سن	$n_2(10^{-6} \frac{cm^2}{W})$	$\alpha(cm^{-1})$
۱	زن-۵۲	$0.05 \pm 2.07$	$0.33 \pm 28.78$
۲		$0.05 \pm 4.16$	$0.25 \pm 26.41$